

# Reibungserregte Schwingungen

dissipative und gyroskopische Einflüsse auf  
,Flutter'-Instabilitäten bei Scheibenbremsen

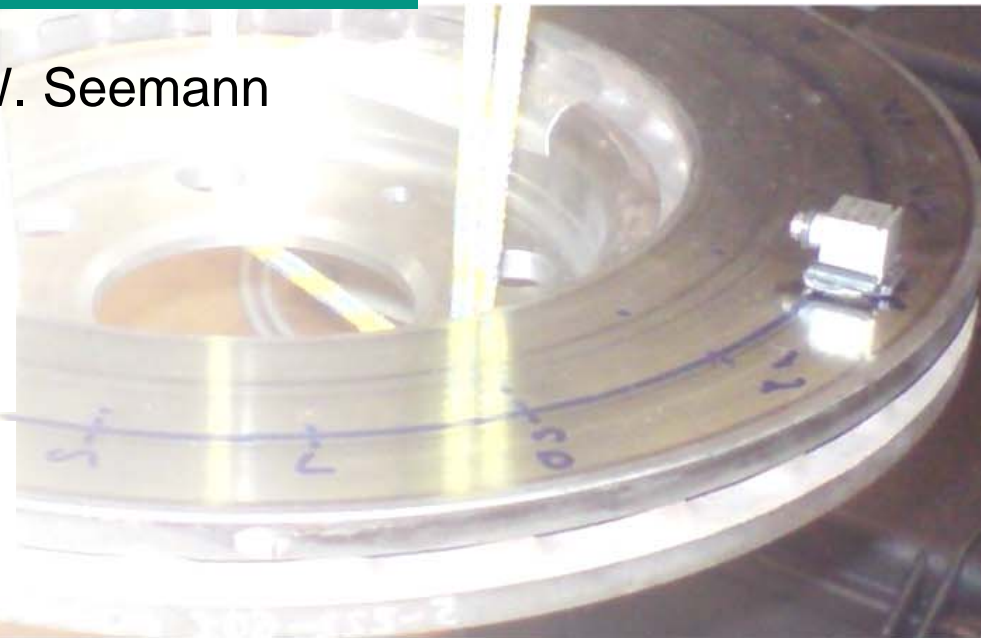
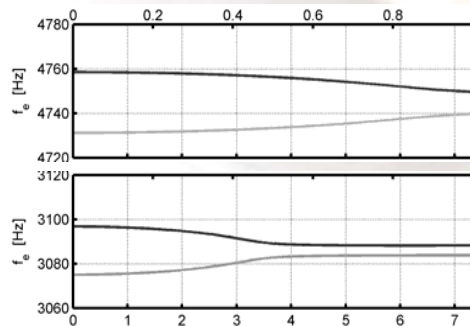
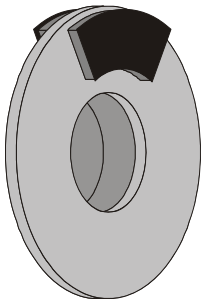


Universität Karlsruhe (TH)  
Research University · founded 1825



Institut für  
Technische Mechanik

Dipl.-Ing. H. Hetzler, Prof. Dr.-Ing. W. Seemann



- Einleitung
- Modellbildung
  - bewegte elastische Körper in raumfesten Koordinaten
  - Linearisierung der Reibung
  - analytisches Modell
- Stabilität
  - Einfluß von Dämpfung und Führungsbewegungen
  - Instabilitätsszenarien
  - Einfluß der Modellierung
- Zusammenfassung



## Bremsenquietschen

- Komfort- und Qualitätsproblem
  - selbsterregte Schwingungen (2-20 kHz)
  - geringen Bremsdrücken
  - niedrige – mäßige Geschwindigkeiten
- 

## für Modellbildung

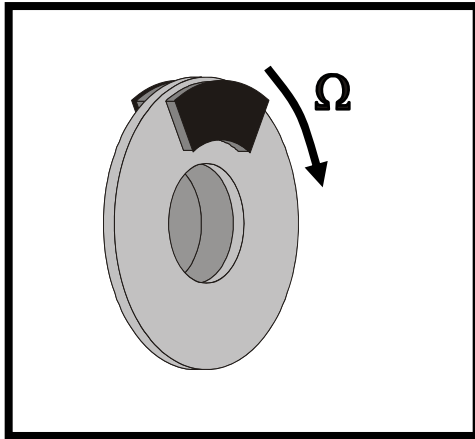
- raumfeste Schwingungsmuster
- Bremsbeläge / Kontaktzonen raumfest
- Bremsscheibe: bewegtes Kontinuum

raumfeste Beschreibung

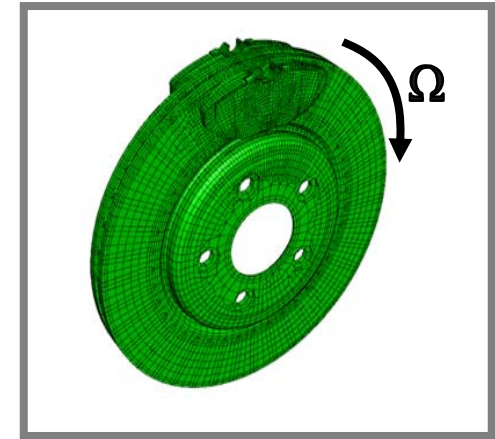


bewegter Kontinua

## Beschreibung bewegter Kontinua in raumfesten Koordinaten



analytisches Modell



FEM  
(... mit Tücken)

$$M\ddot{q} + (G_S + D_S)\dot{q} + (K_S)q = f_{Kontakt}(q, \dot{q})$$

Führungsbewegung

Steifigkeit

Strukturdämpfung

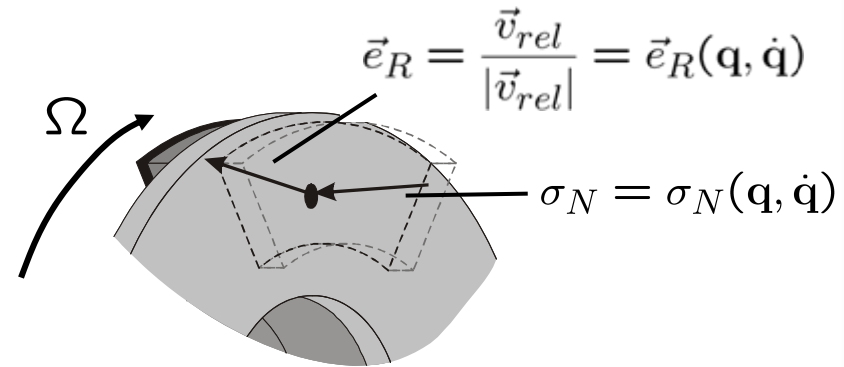
Annahme: bewegte Scheibe ungedämpft

$$\mathbf{f}_{Kontakt} = \mathbf{f}_R + \mathbf{f}_N$$

## Tangentialspannungsvektor

$$\vec{\mathbf{t}}_R = \mu \sigma_N \vec{\mathbf{e}}_R$$

- Richtung  $\vec{\mathbf{e}}_R(\mathbf{q}, \dot{\mathbf{q}})$
- Normalspannung  $\sigma_N(\mathbf{q}, \dot{\mathbf{q}})$



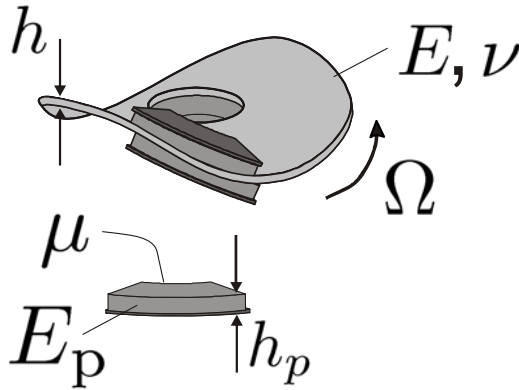
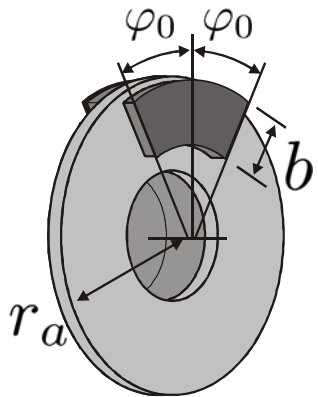
$$\mathbf{f}_{R,lin} = -\mathbf{R}_1 \mathbf{q} - \mathbf{R}_2 \dot{\mathbf{q}}$$

## Normalkontakt (→ kinematische Nebenbedingung !)

- Lagrangesche Multiplikatoren
- Penalty-Formulierungen („Kontaktsteifigkeiten“)

oder in speziellen Fällen

durch geeignete Ansatzfunktionen  
NB à priori erfüllen



- rotierende Kirchhoff-Platte
- kompressible Bremsbeläge
- raumfeste Betrachtung
- Normalkontakt durch Ansätze erfüllt

**Linearisierung**  
 Streichen unwichtiger Einflüsse

$$M\ddot{q} + \left( \Omega G + d_p D + p_1 \frac{s_0 h}{\Omega} D_R \right) \dot{q} + (K + p_1 N) q = 0$$

symmetrisch  
 $M, D, D_R, K$

schiefsymmetrisch  
 $G, N$

**Parameter:**

$p_1 = \mu c_p h$  „Last“-Parameter

$\Omega$  Drehzahl

$\varphi_0$  Belagsausdehnung

$d_p$  Dämpfung (Belag)

$s_0$  statische Belagskompression

# Stabilität (vereinfacht)

(intuitive) Annahme

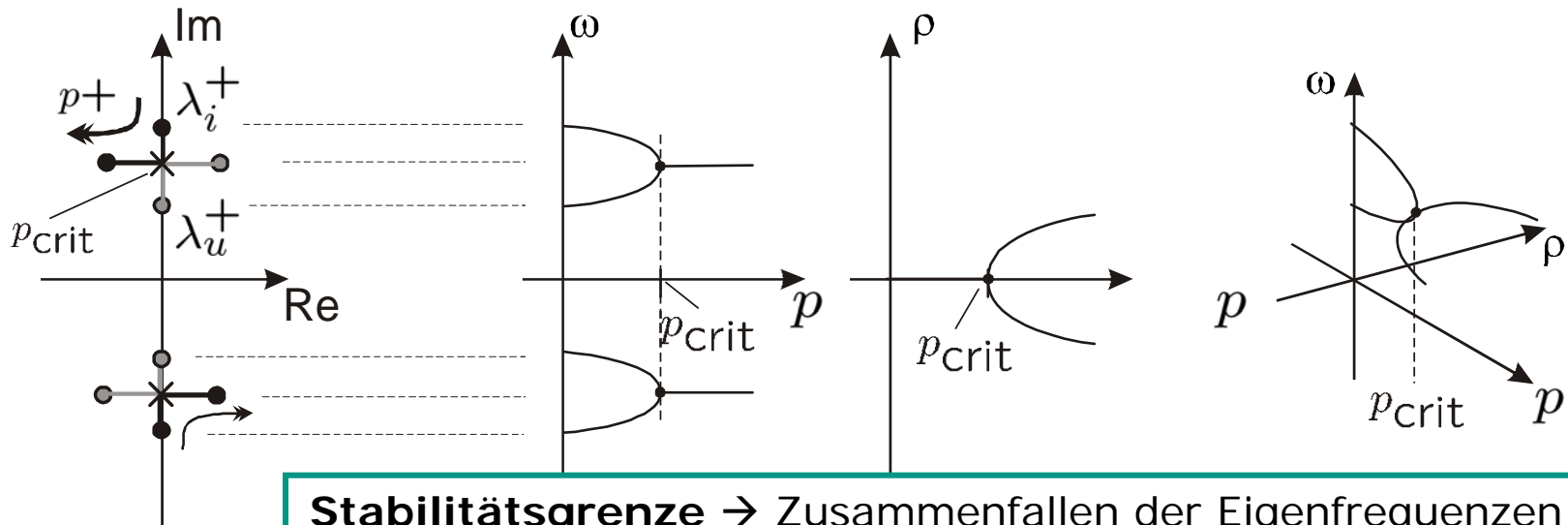
Dämpfung  $\longrightarrow$  asymptotische Stabilität

Gyroskopische Terme  $\longrightarrow$  kein Einfluß auf Stabilität

$$M\ddot{q} + \left( \Omega G + dD + p_1 \frac{s_0 h}{\Omega} D_R \right) \dot{q} + (K + p_1 N) q = 0 \rightsquigarrow \boxed{M\ddot{q} + (K + p_1 N) q = 0}$$

Zirkulatorisches System  $\rightarrow$  Flutter-Instabilität

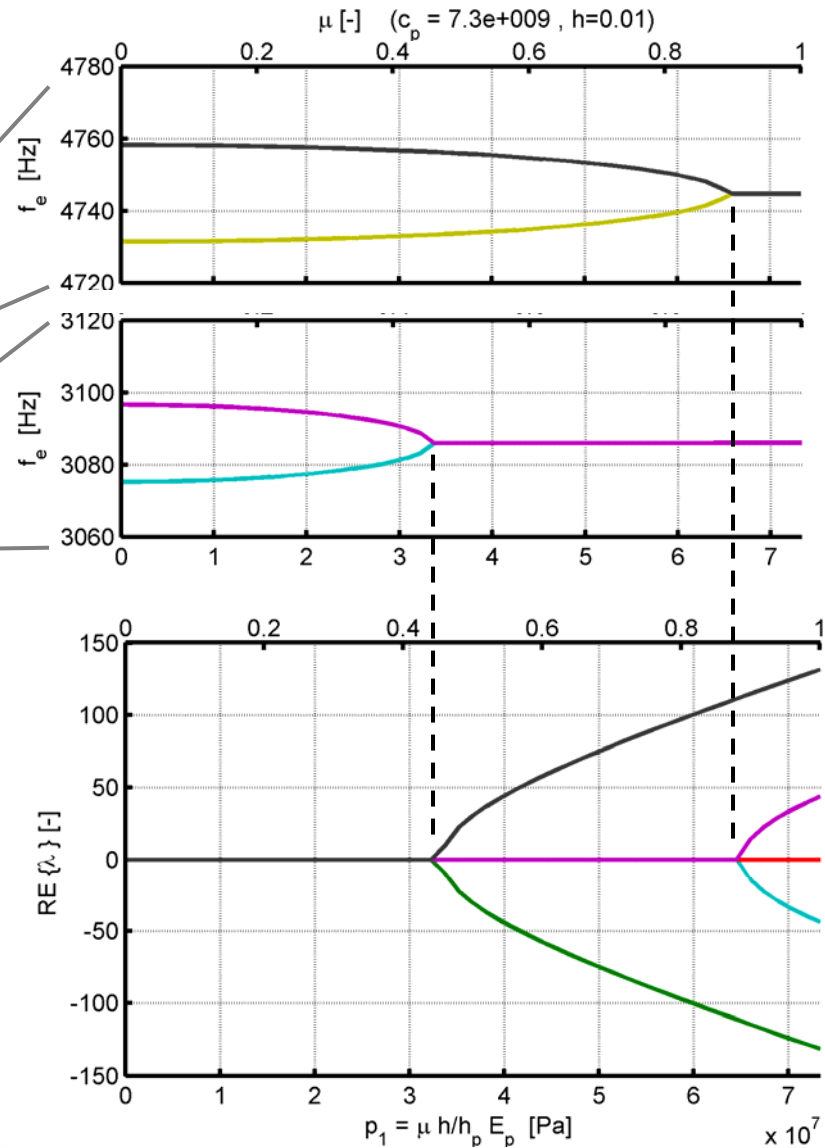
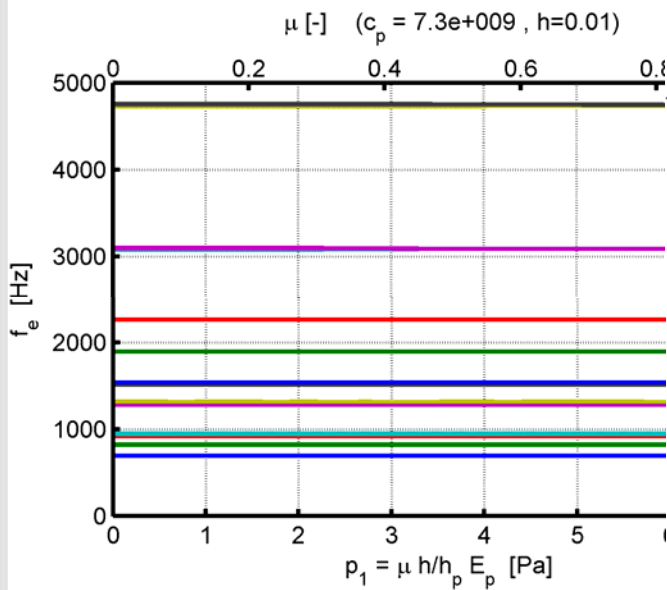
## Szenario



**Stabilitätsgrenze**  $\rightarrow$  Zusammenfallen der Eigenfrequenzen  
 $\rightarrow$  Wechsel reelle/komplexe Eigenvektoren

# Eigenwerte (vereinfacht)

$$M\ddot{q} + (K + p_1 N)q = 0$$





**Hypothese** : „Dämpfung und gyroskopische Anteile verschlechtern das Stabilitätsverhalten nicht.“

$$\mathbf{M}\ddot{\mathbf{q}} + \left( \Omega\mathbf{G} + d\mathbf{D} + p_1 \frac{s_0 h}{\Omega} \mathbf{D}_R \right) \dot{\mathbf{q}} + (\mathbf{K} + p_1 \mathbf{N}) \mathbf{q} = 0$$

~> Abschätzung „zur sicheren Seite“ ???

Hintergrund ist vermutlich

## Satz von Thomson / Tait:

„Ein stabiles **M-K-System** wird durch Hinzufügen von **D > 0** und **G** nicht destabilisiert.“

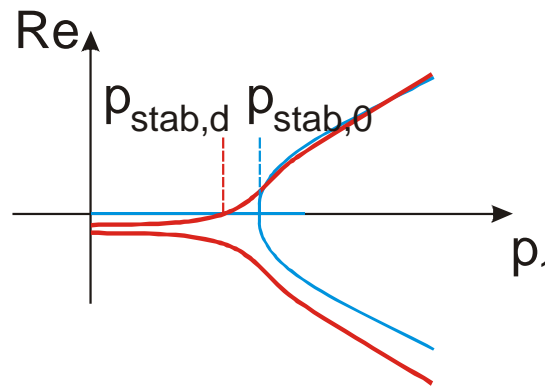
$$\mathbf{M}\ddot{\mathbf{q}} + \left( \Omega\mathbf{G} + d\mathbf{D} + p_1 \frac{s_0 h}{\Omega} \mathbf{D}_R \right) \dot{\mathbf{q}} + (\mathbf{K} + p_1 \mathbf{N}) \mathbf{q} = 0$$

➔ der Satz von Thomson/Tait gilt **NICHT** für **M-K-N** – Systeme !



statt dessen:

- Destabilisierung durch (echte) Dämpfung möglich



(„Ziegler-Paradoxon“)

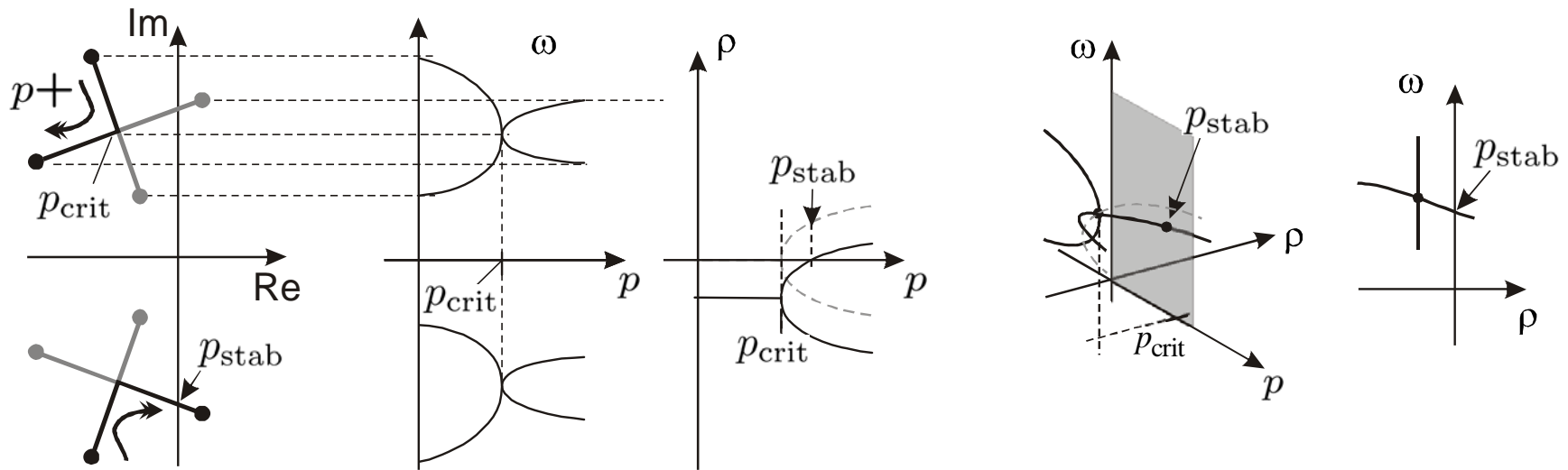
- **M-G-K-N** – Systeme immer instabil

Stabilität für **M-D-G-K-N** – Systeme deutlich von **D, G** beeinflusst !

$$M\ddot{q} + \left( \Omega G + dD + p_1 \frac{s_0 h}{\Omega} D_R \right) \dot{q} + (K + p_1 N) q = 0$$

$$\longrightarrow \text{EWP: } [M\lambda^2 + P\lambda + Q] r = 0$$

**Szenario I :** alle Eigenvektoren  $r$  sind reell

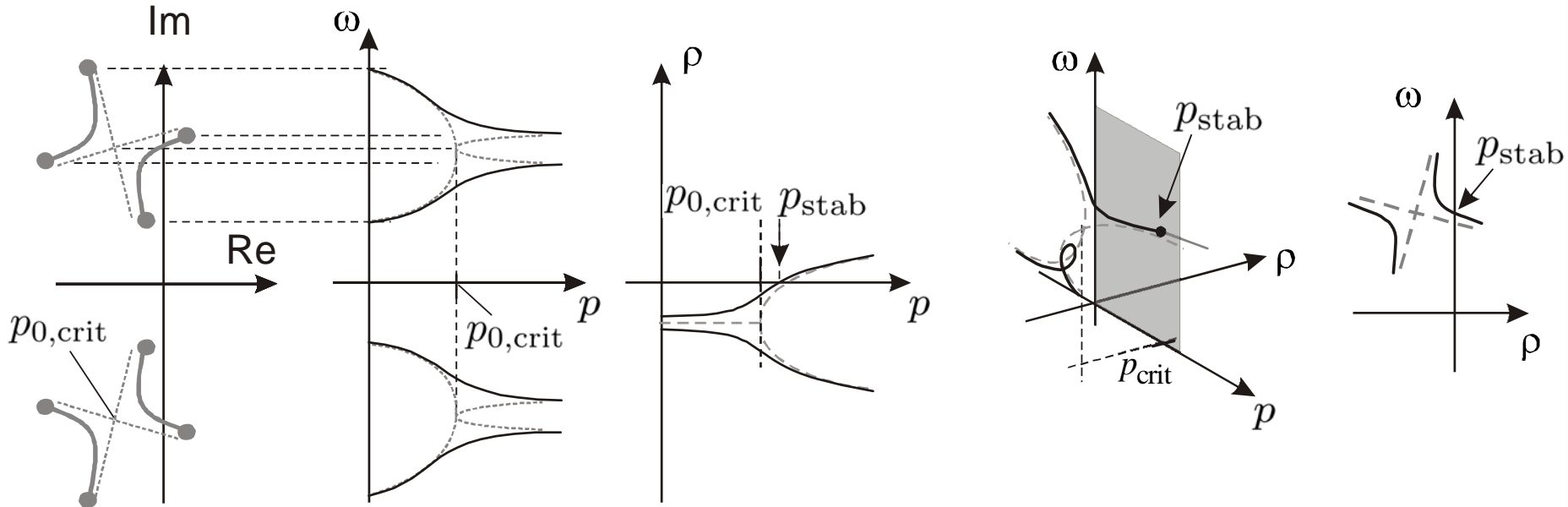


**Bedingung:**  $M^{-1}P$  und  $M^{-1}Q$  kommutieren.

„akademischer“  
Spezialfall

$$\mathbf{M}\ddot{\mathbf{q}} + \left( \Omega\mathbf{G} + d\mathbf{D} + p_1 \frac{s_0 h}{\Omega} \mathbf{D}_R \right) \dot{\mathbf{q}} + (\mathbf{K} + p_1 \mathbf{N}) \mathbf{q} = 0$$

**Szenario II:** Eigenvektoren nur komplex darstellbar

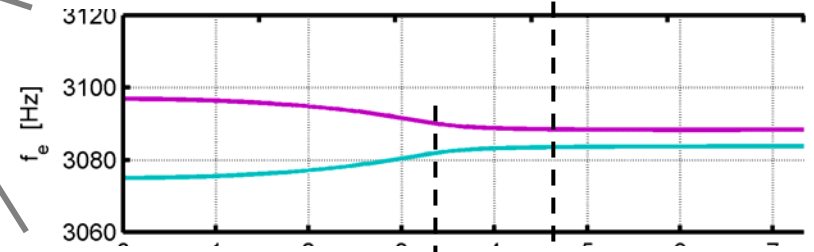
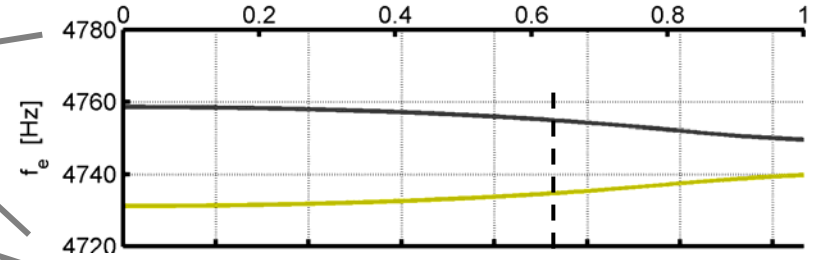
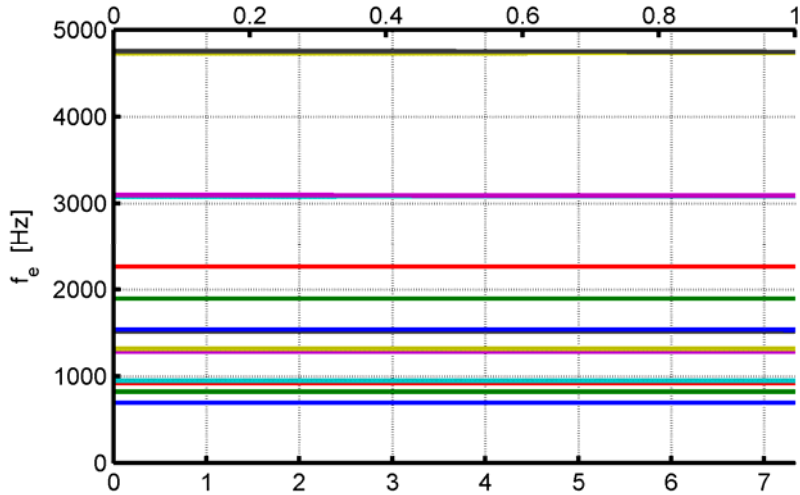


**NORMALFALL**  
reibung induzierter  
Flutter-Instabilitäten

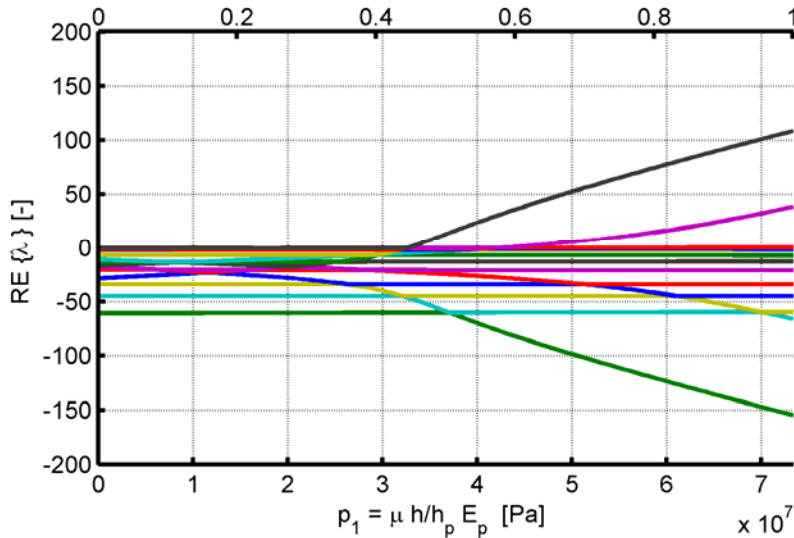
- Eigenfrequenzen fallen nicht mehr zusammen
- immer komplexe Eigenvektoren
- Stabilitätsgrenze nicht mehr so akzentuiert

# Eigenwerte

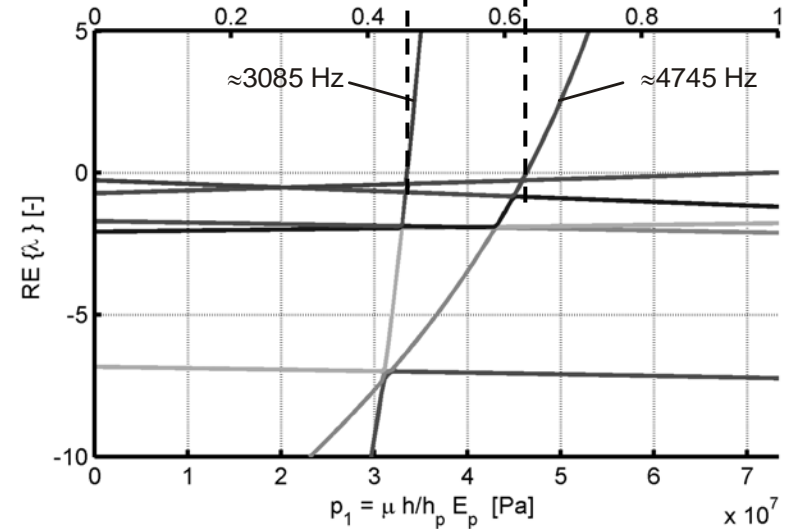
$\mu [-]$  ( $c_p = 7.3e+009$ ,  $h=0.01$ )



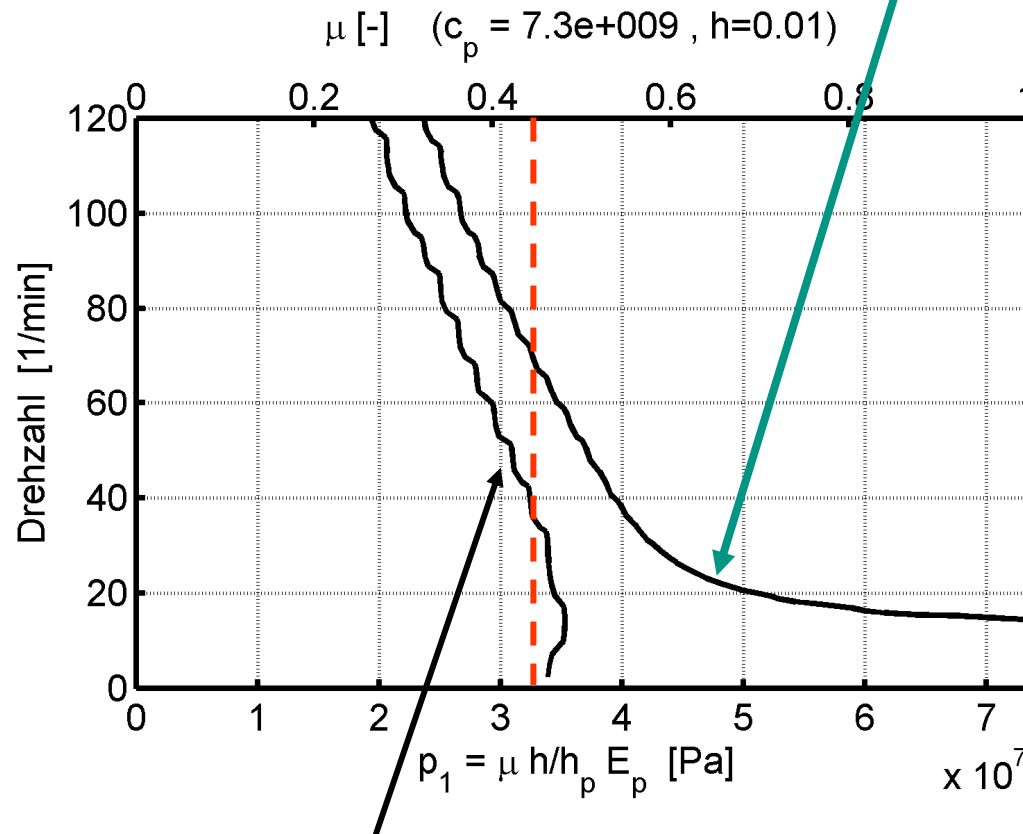
$\mu [-]$  ( $c_p = 7.3e+009$ ,  $h=0.01$ )



$\mu [-]$  ( $c_p = 7.3e+009$ ,  $h=0.01$ )



$$M\ddot{q} + \left( \Omega G + dD + p_1 \frac{s_0 h}{\Omega} D_R \right) \dot{q} + (K + p_1 N) q = 0$$



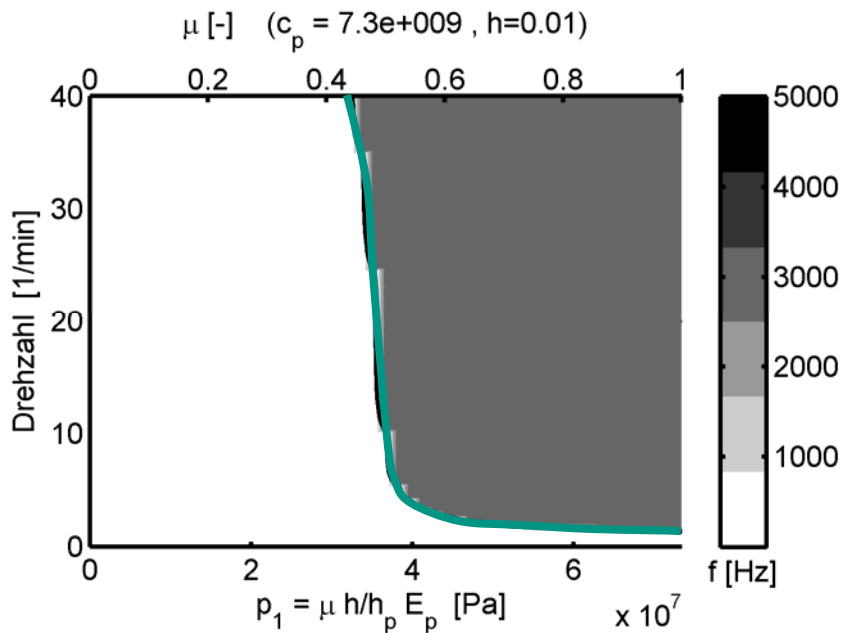
— Stabilitätsgrenze  
M-K-N - System

Reibung nur auf Lageebene

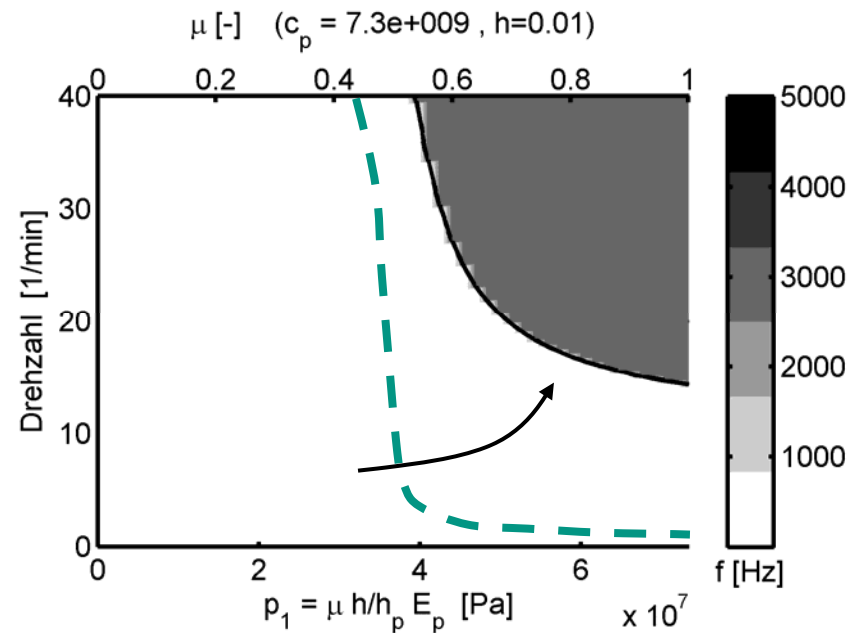
# Einfluß der Normalkraft

vollständig: 
$$M\ddot{q} + \left( \Omega G + dD + p_1 \frac{s_0 h}{\Omega} D_R \right) \dot{q} + (K + p_1 N) q = 0$$

$N_0 = 0.1 \text{ kN}$



$N_0 = 1 \text{ kN}$

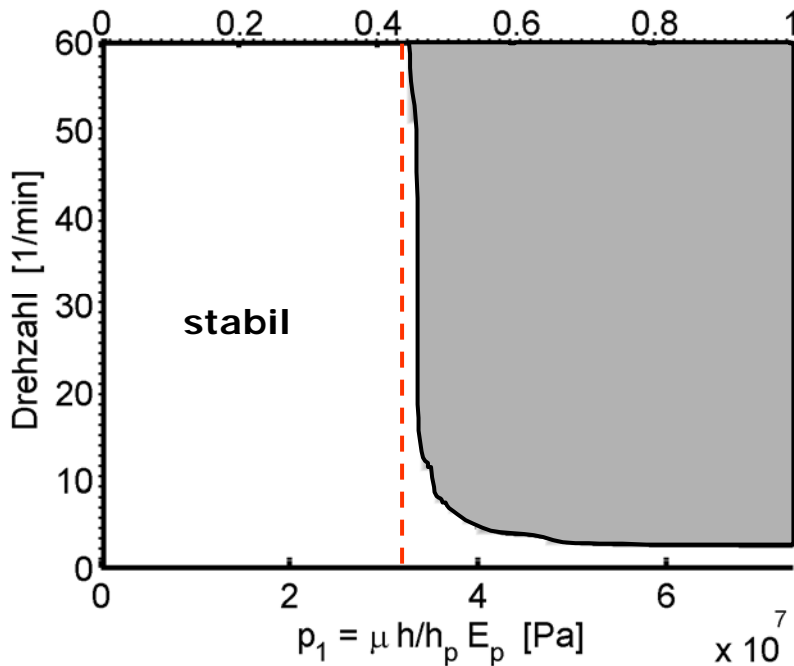


# Einfluß gyroskopische Effekte

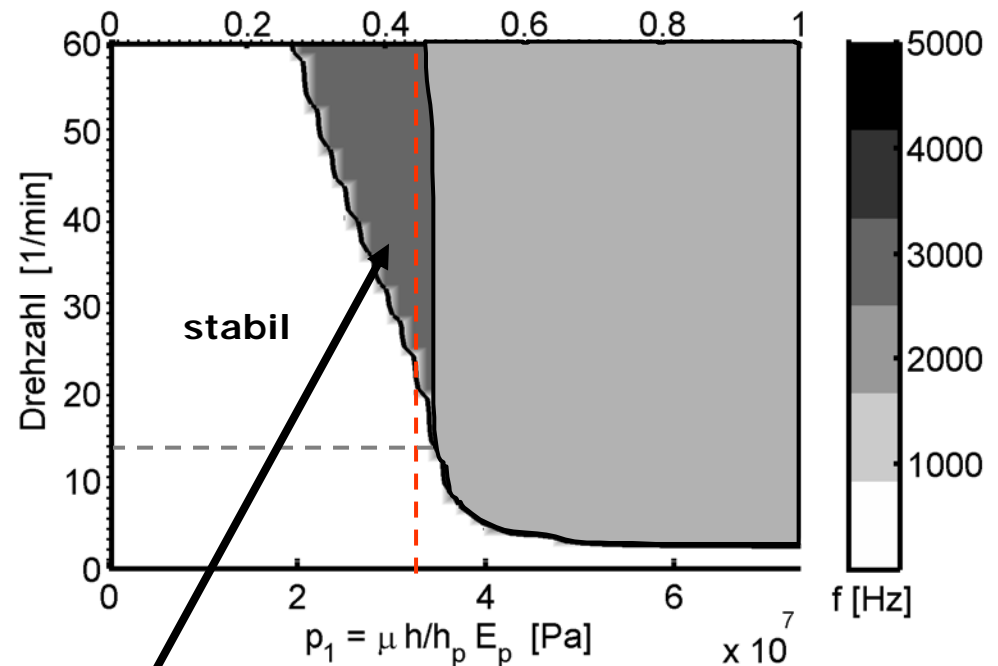
vollständig:  $M\ddot{q} + \left( \Omega G + dD + p_1 \frac{s_0 h}{\Omega} D_R \right) \dot{q} + (K + p_1 N) q = 0$

$N_0 = 0.1 \text{ kN}$

$\mu [-]$  ( $c_p = 7.3e+009$ ,  $h=0.01$ )



$\mu [-]$  ( $c_p = 7.3e+009$ ,  $h=0.01$ )



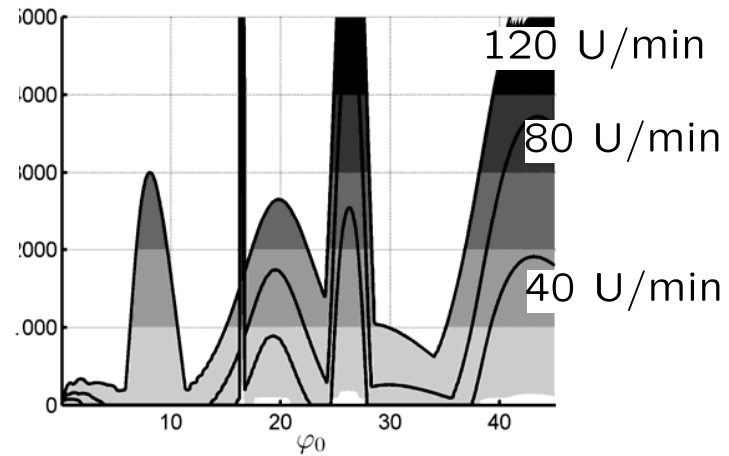
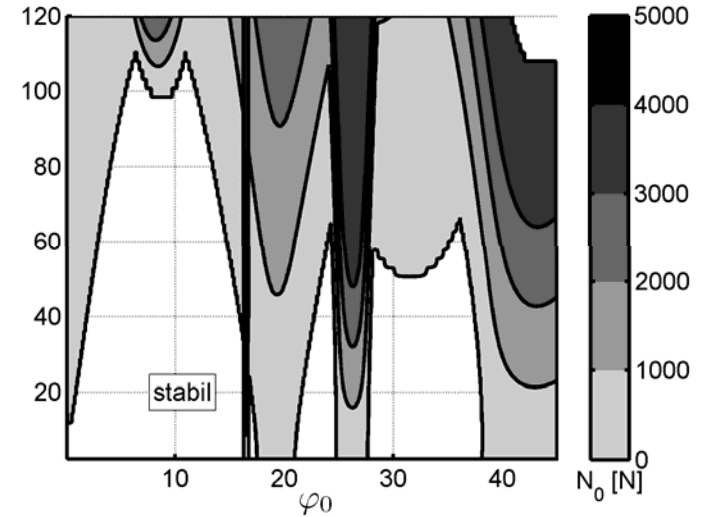
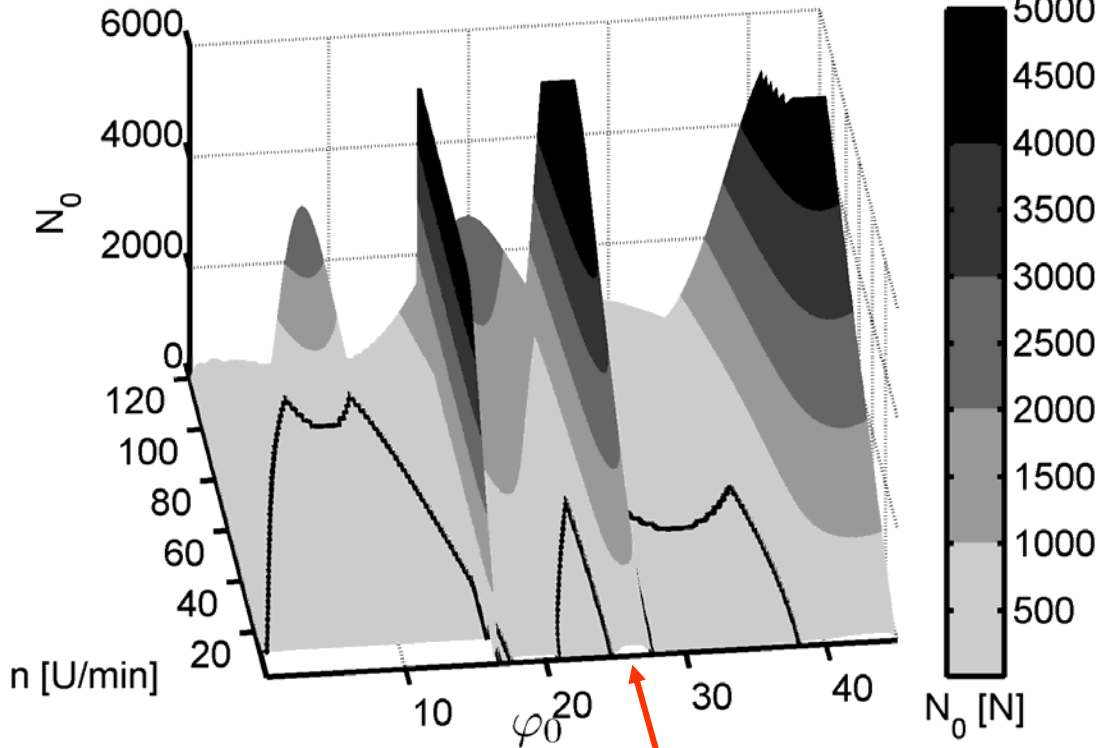
gyroskopische Einflüsse (bewegtes Kontinuum in raumf. Koordinaten)



# Einfluß weiterer Parameter

$\mu = 0.4$

(stabil unterhalb der Oberfläche)



- grundsätzliche Struktur der Gleichungssysteme
- relevante Systemparameter:  $p_1 = \mu c_p h$  (dominant! Produkt!)  
 $\Omega, \varphi_0, N_0, d_p$
- Satz von Thomson-Tait gilt nicht
- Instabilitätsszenarien
- Einfluß der Modellierung auf die Stabilitätsuntersuchung
  - Führungsbewegung, Dämpfung,
  - vollständige Linearisierung der Reibung } müssen berücksichtigt werden

**Vielen Dank!**



## Backup-Folien

